

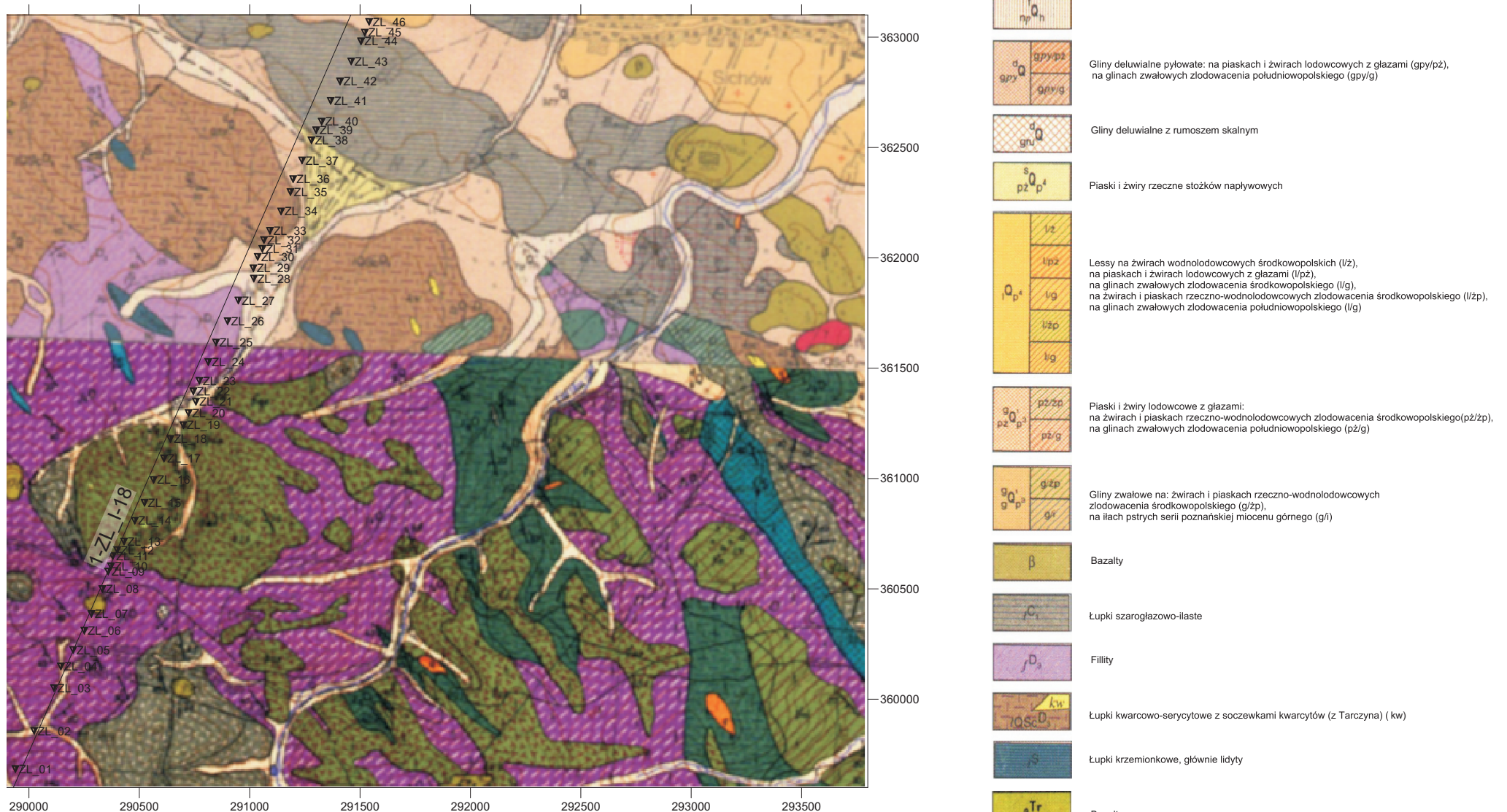
## OBJAŚNIENIA BARW I SYMBOLI

Namuty piaszczyste den dolinnych i stożków

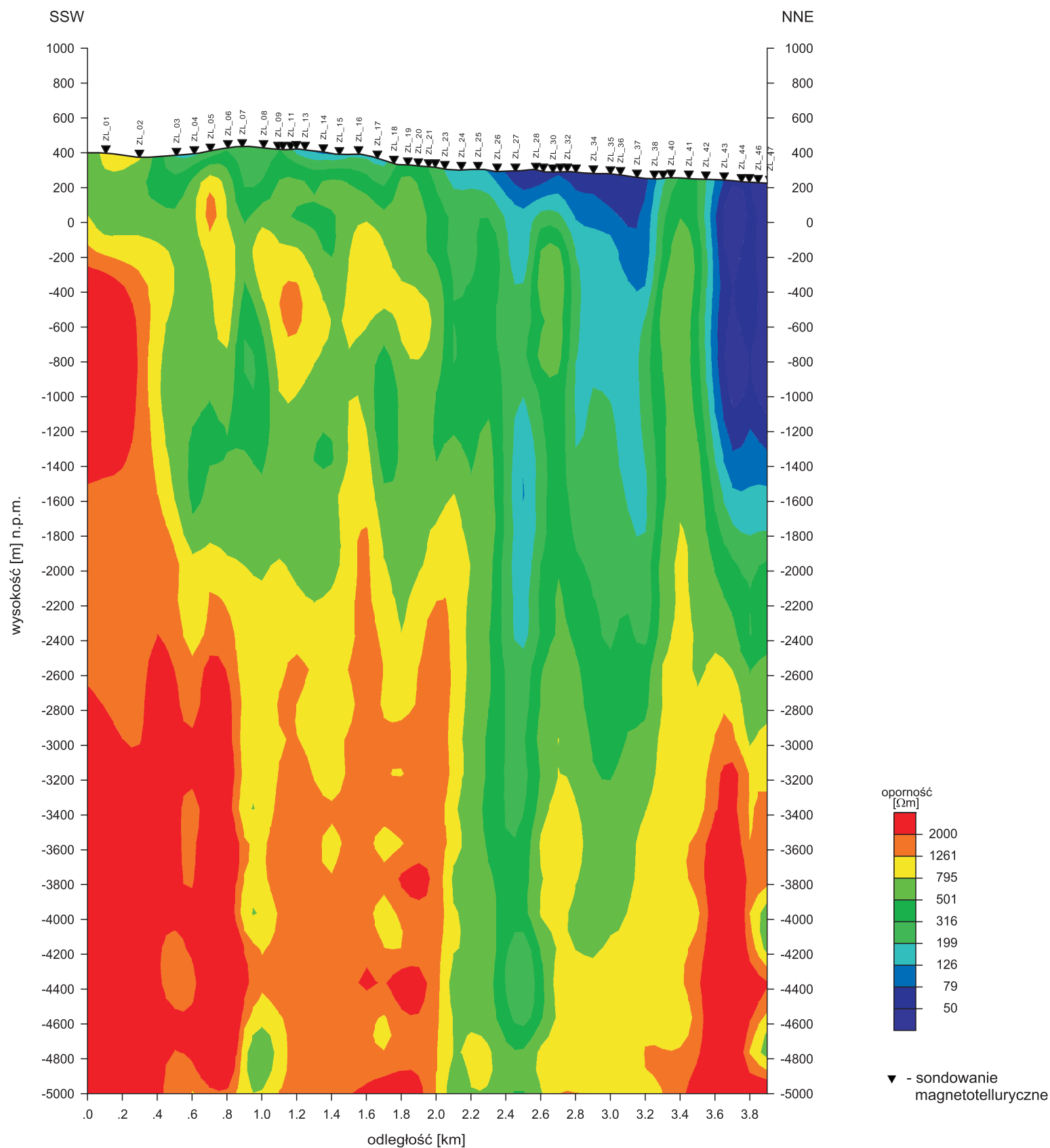


**Figura 3.7.2.1.** Lokalizacja sondowań magnetotellurycznych na tle mapy topograficznej-podkład-Mapa Topograficzna Polski źródło:<http://mapy.geoportal.gov.pl/wss/service/img/guest/TOPO/MapServer/WMSServer>-rejon badań -Złotoryja I, skala 1:25 000

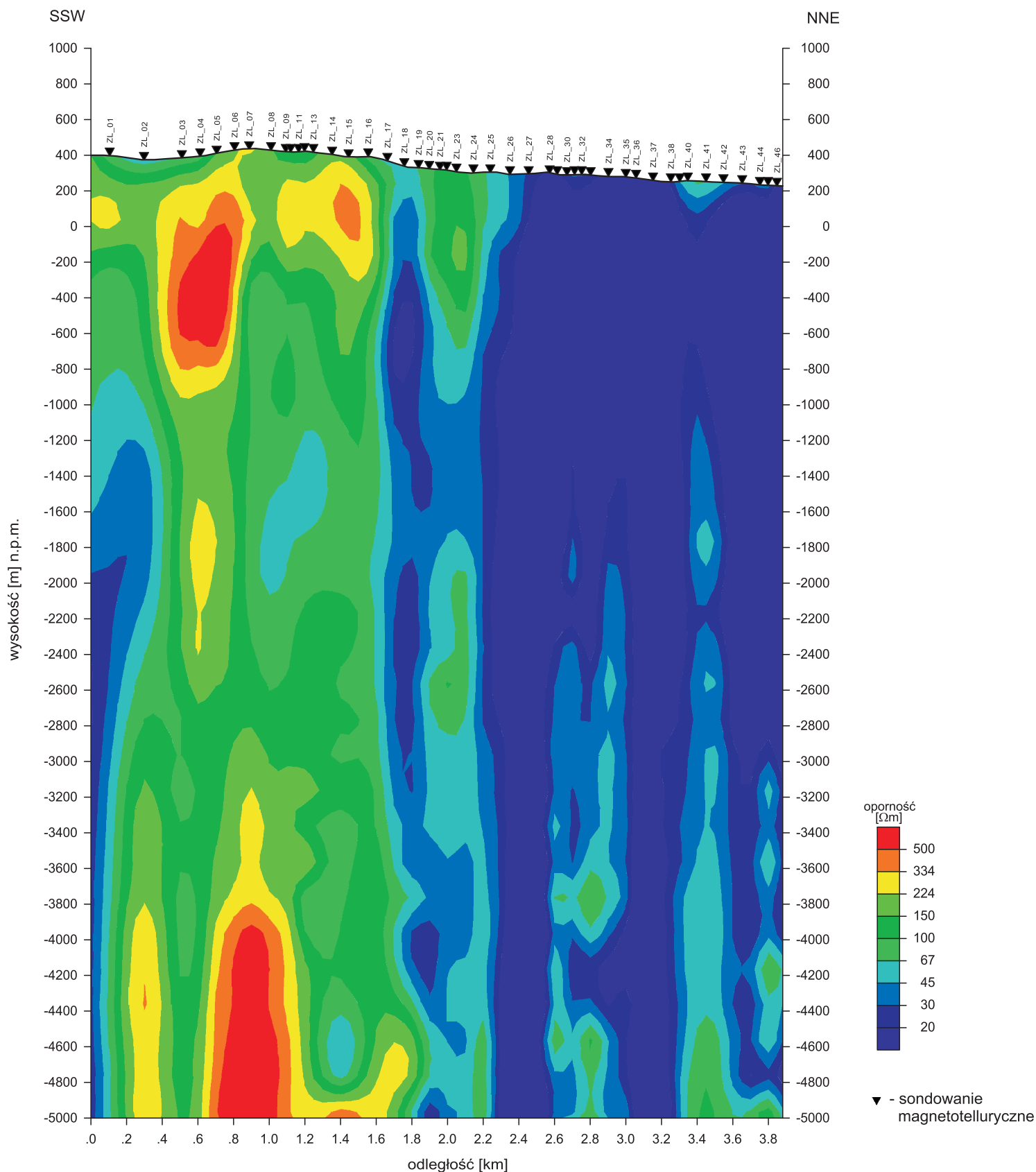




**Figura 3.7.2.2.** Lokalizacja sondowań magnetotellurycznych na tle Szczegółowej mapy geologicznej Sudetów - rejon: Złotoryja I, - fragment arkuszy: M-33-33-C-a Krotoszyce - opracowali: M. WALCZAK-AUGUSTYNIAK- 1993 r. M-33-33-C-c Chełmiec - opracował: J. JERZMAŃSKI - 1954-55r., skala 1:25 000

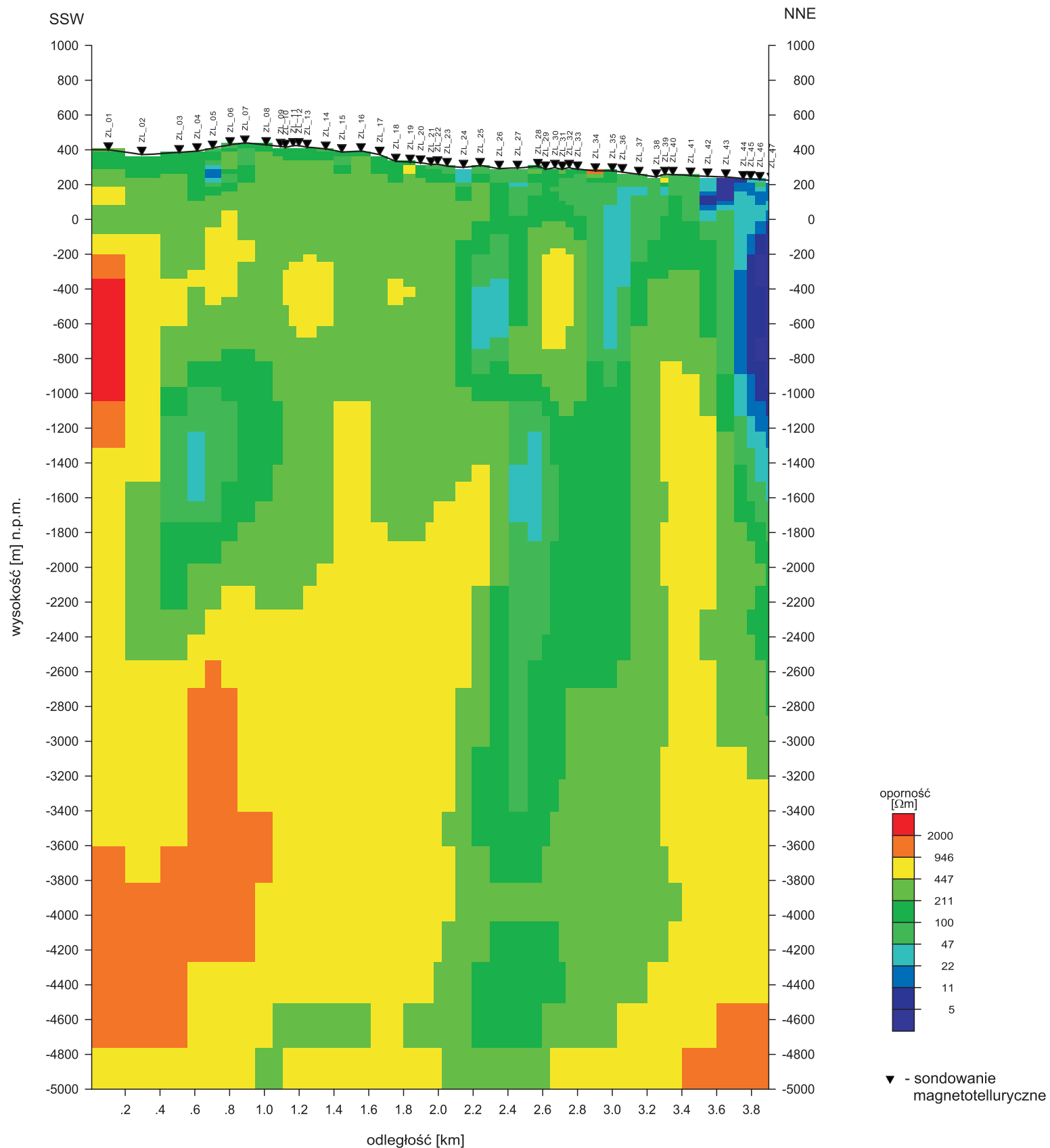


**Figura 3.7.2.3.** Rozkład oporności wzdłuż profilu 1-ZL\_I-18 Złotoryja I na podstawie inwersji 1D wg algorytmu Occama dla polaryzacji magnetycznej,

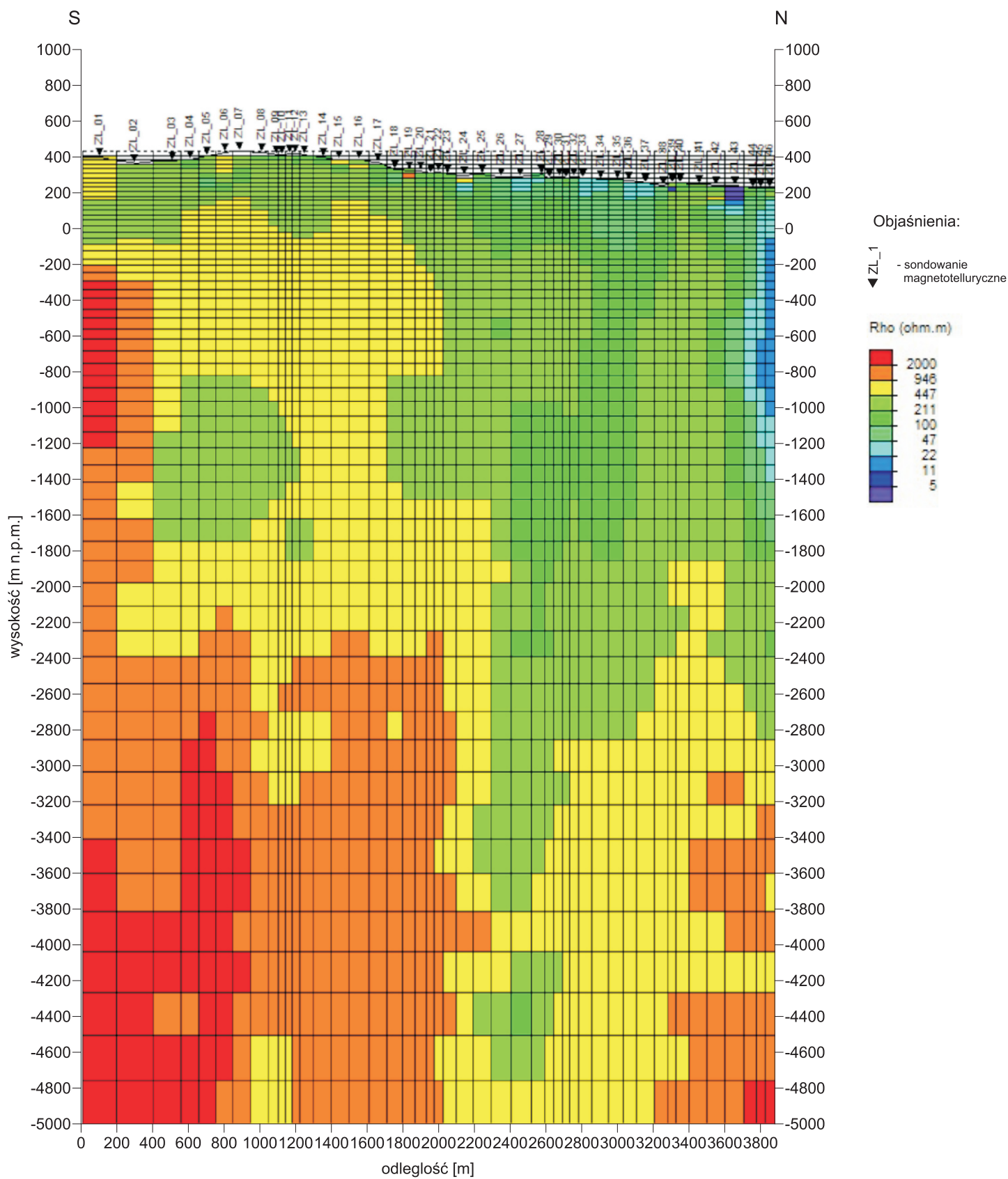


**Figura 3.7.2.4.** Rozkład oporności wzdłuż profilu 1-ZL\_I-18 Złotoryja I na podstawie inwersji 1D wg algorytmu Occama dla polaryzacji elektrycznej

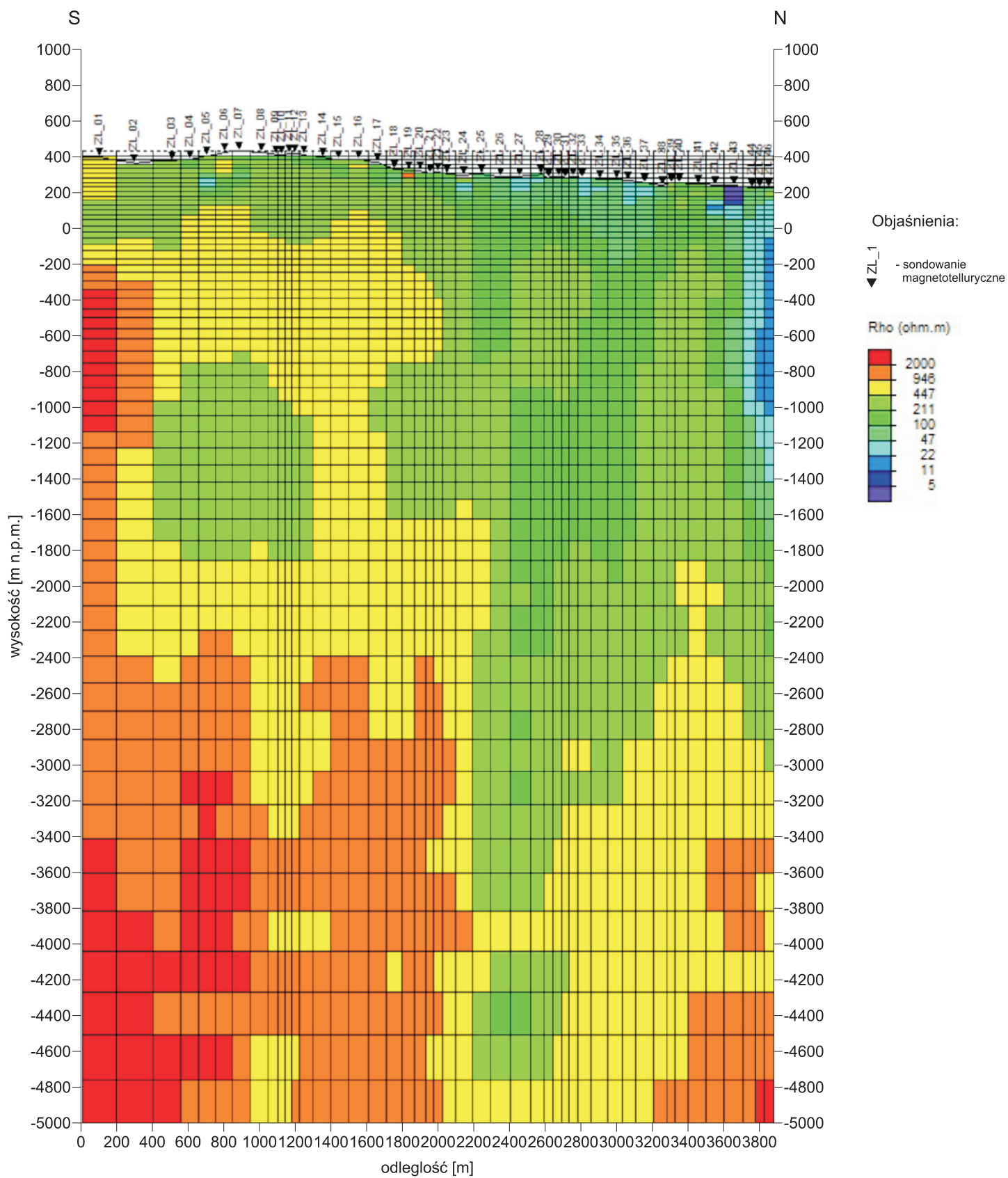




**Figura 3.7.2.5.** Rozkład oporności wzdłuż profilu 1-ZL\_I-18 Złotoryja I na podstawie inwersji 2D wg algorytmu NLCG

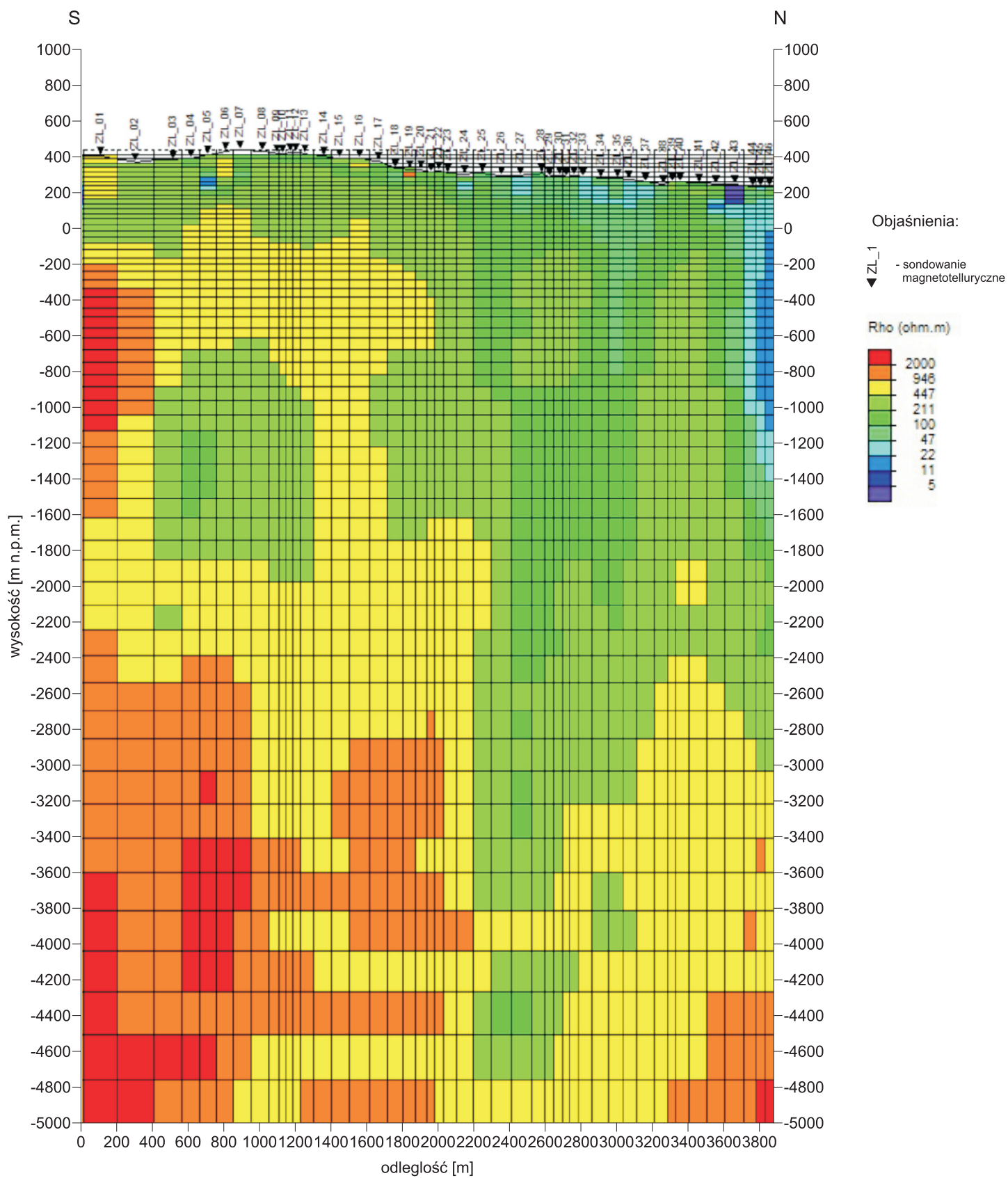


**Figura 3.7.2.5a** Rozkład oporności wzdłuż profilu 1-ZL\_I-18 Złotoryja I na podstawie inwersji 2D wg algorytmu NLCG (iteracja 3)

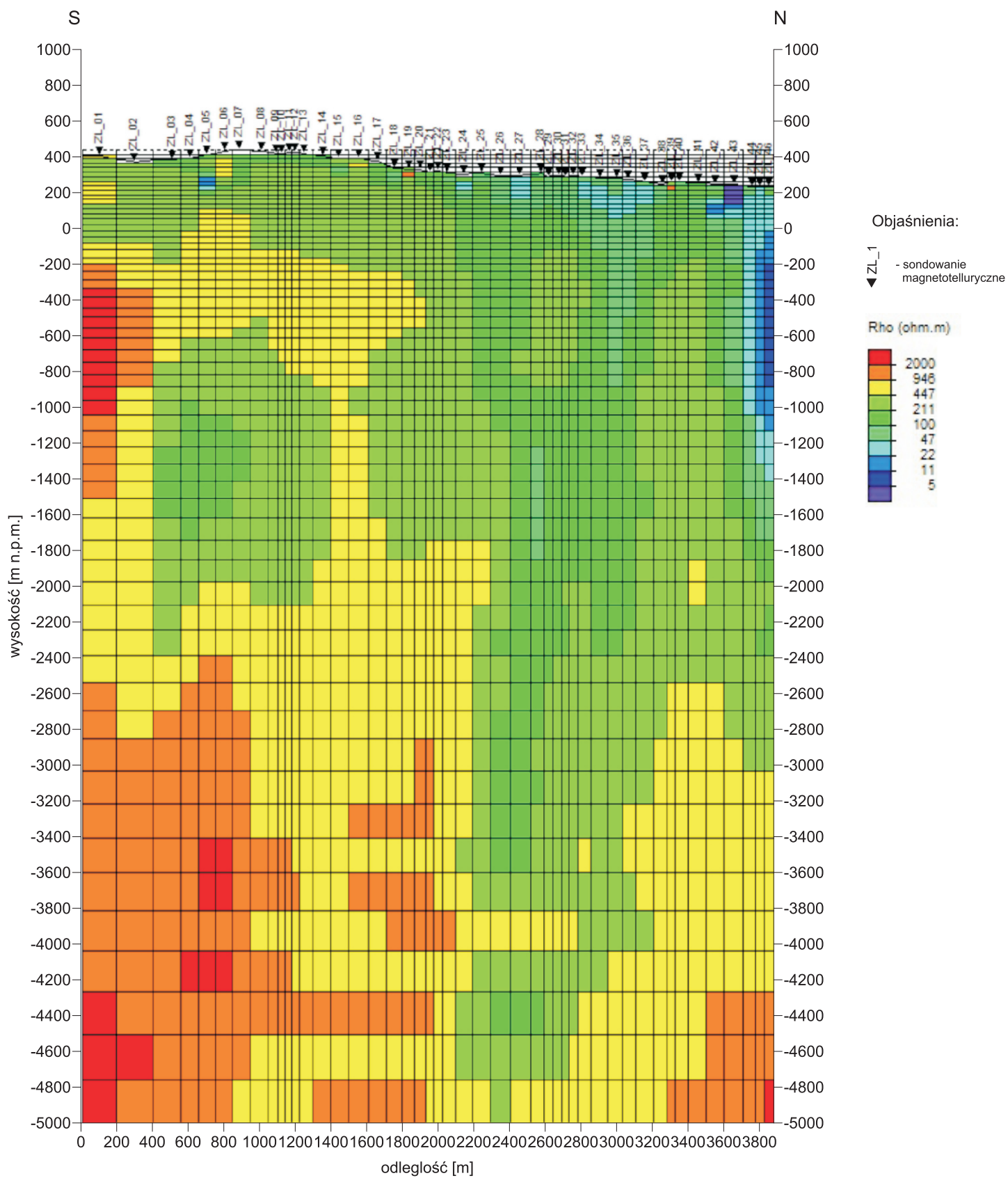


**Figura 3.7.2.5b** Rozkład oporności wzdłuż profilu 1-ZL\_I-18 Złotoryja I na podstawie inwersji 2D wg algorytmu NLCG (iteracja 6)

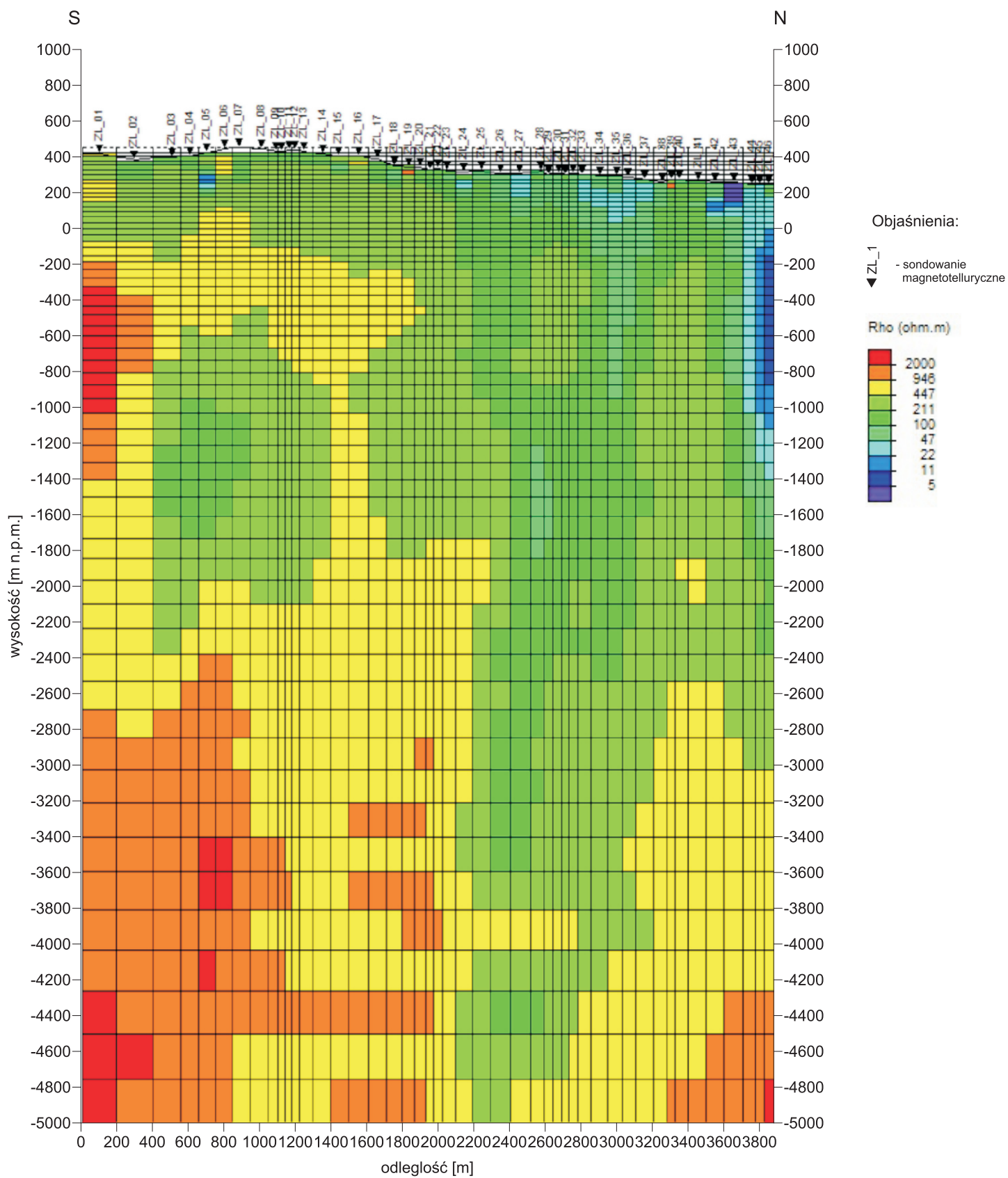




**Figura 3.7.2.5c** Rozkład oporności wzdłuż profilu 1-ZL\_I-18 Złotoryja I na podstawie inwersji 2D wg algorytmu NLCG (iteracja 9)

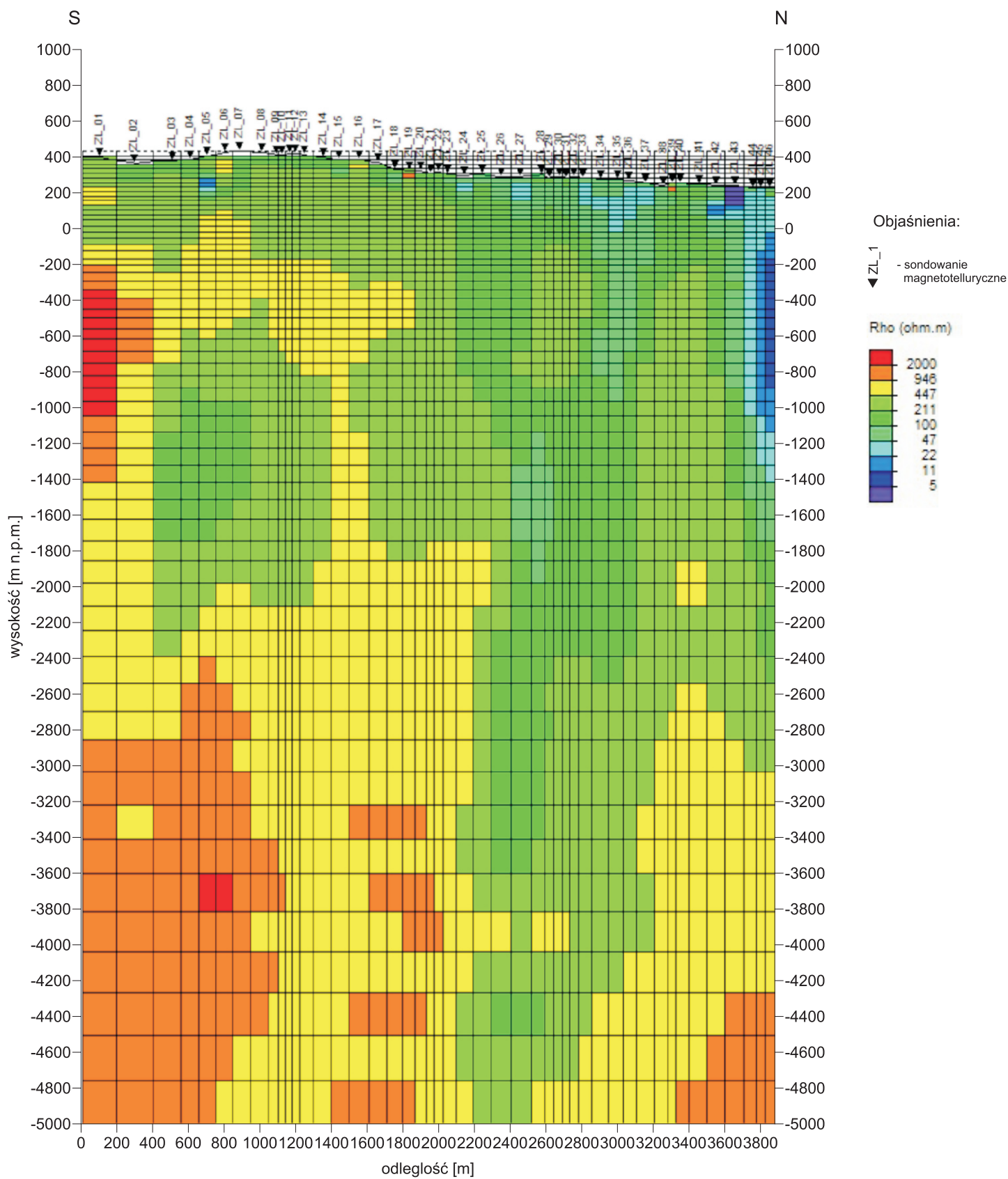


**Figura 3.7.2.5d** Rozkład oporności wzdłuż profilu 1-ZL\_I-18 Złotoryja I na podstawie inwersji 2D wg algorytmu NLCG (iteracja 12)

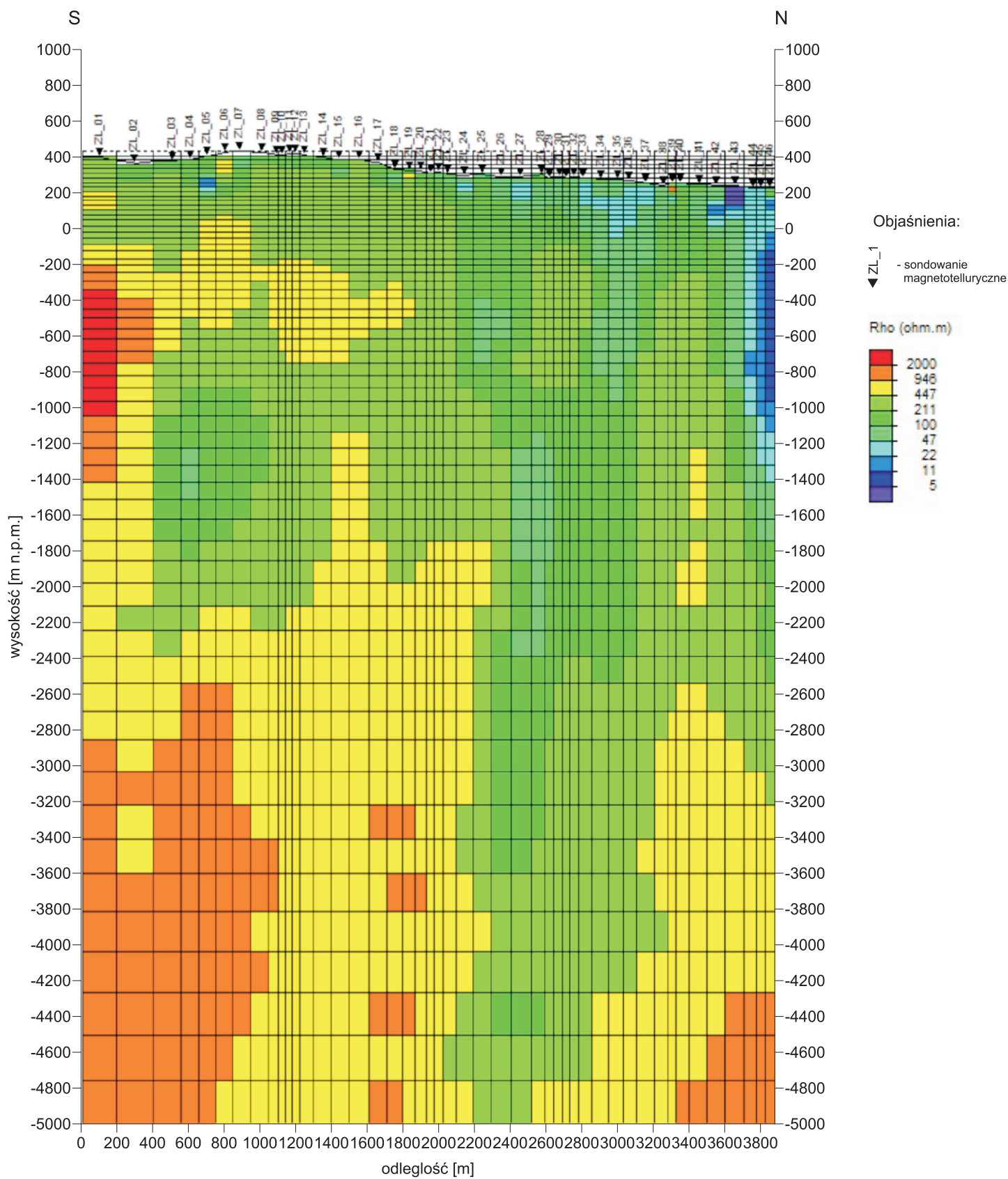


**Figura 3.7.2.5e** Rozkład oporności wzdłuż profilu 1-ZL\_I-18 Złotoryja I na podstawie inwersji 2D wg algorytmu NLCG (iteracja 15)

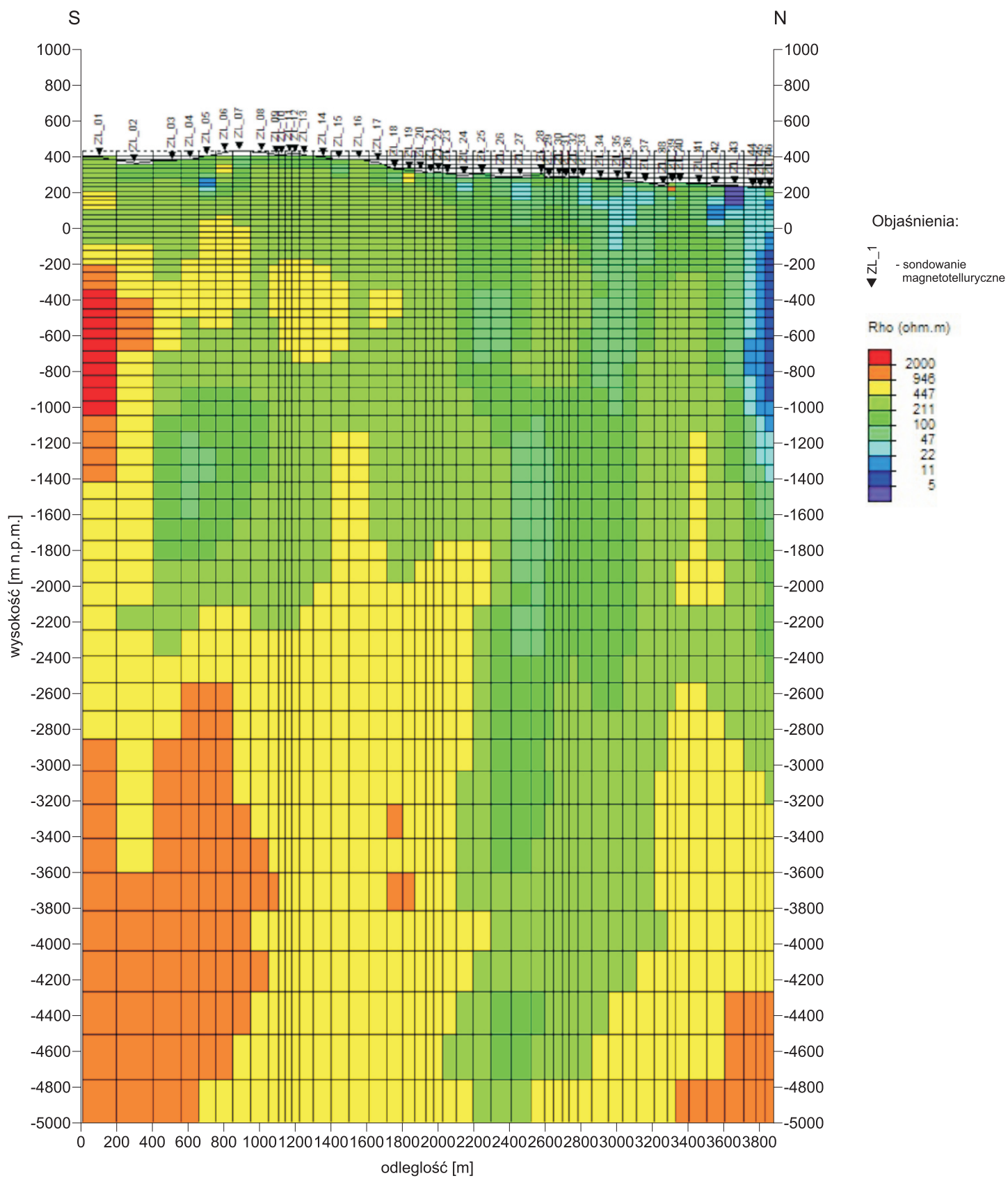




**Figura 3.7.2.5f** Rozkład oporności wzdłuż profilu 1-ZL\_I-18 Złotoryja I na podstawie inwersji 2D wg algorytmu NLCG (iteracja 18)

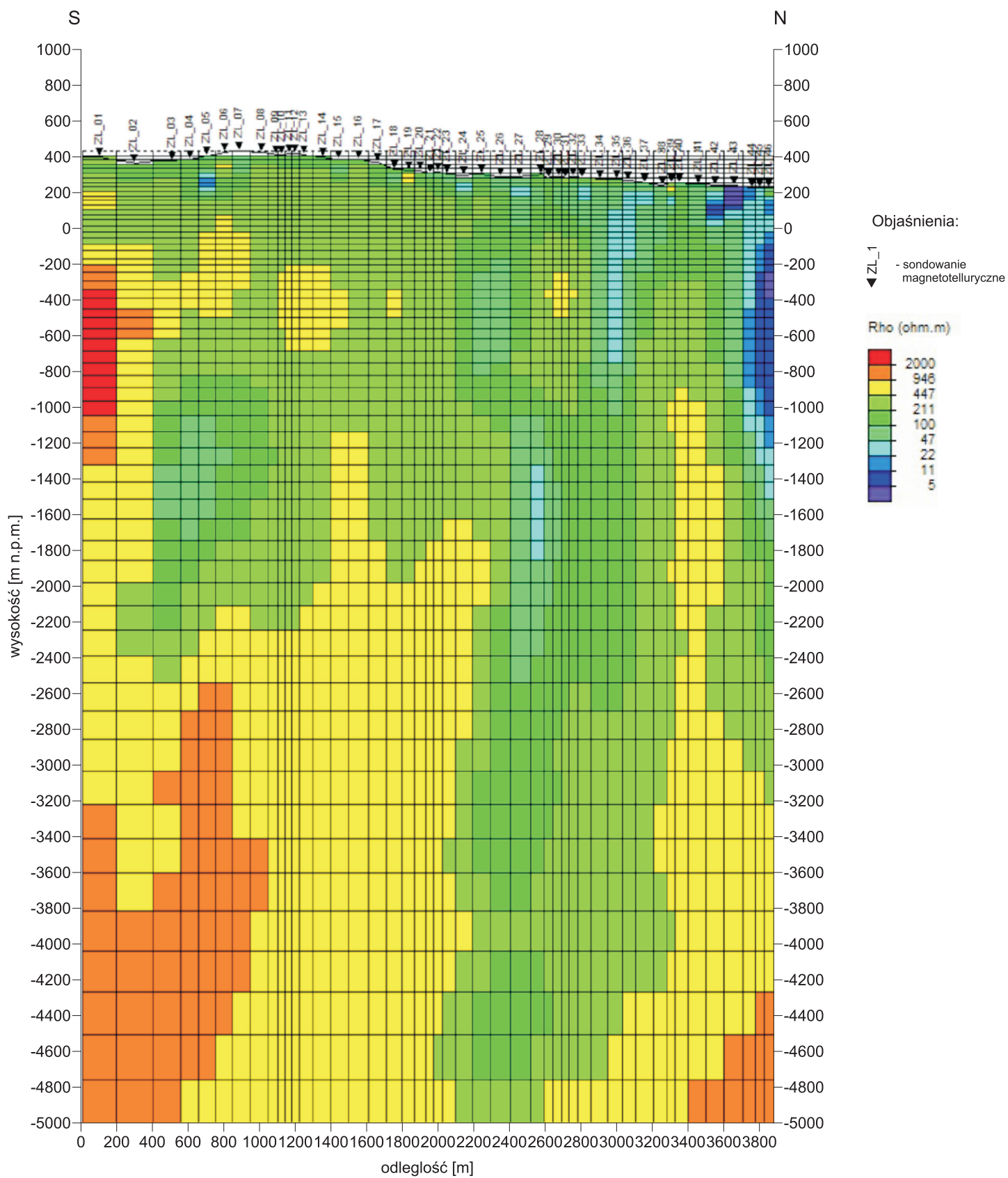


**Figura 3.7.2.5g** Rozkład oporności wzdłuż profilu 1-ZL\_I-18 Złotoryja I na podstawie inwersji 2D wg algorytmu NLCG (iteracja 21)

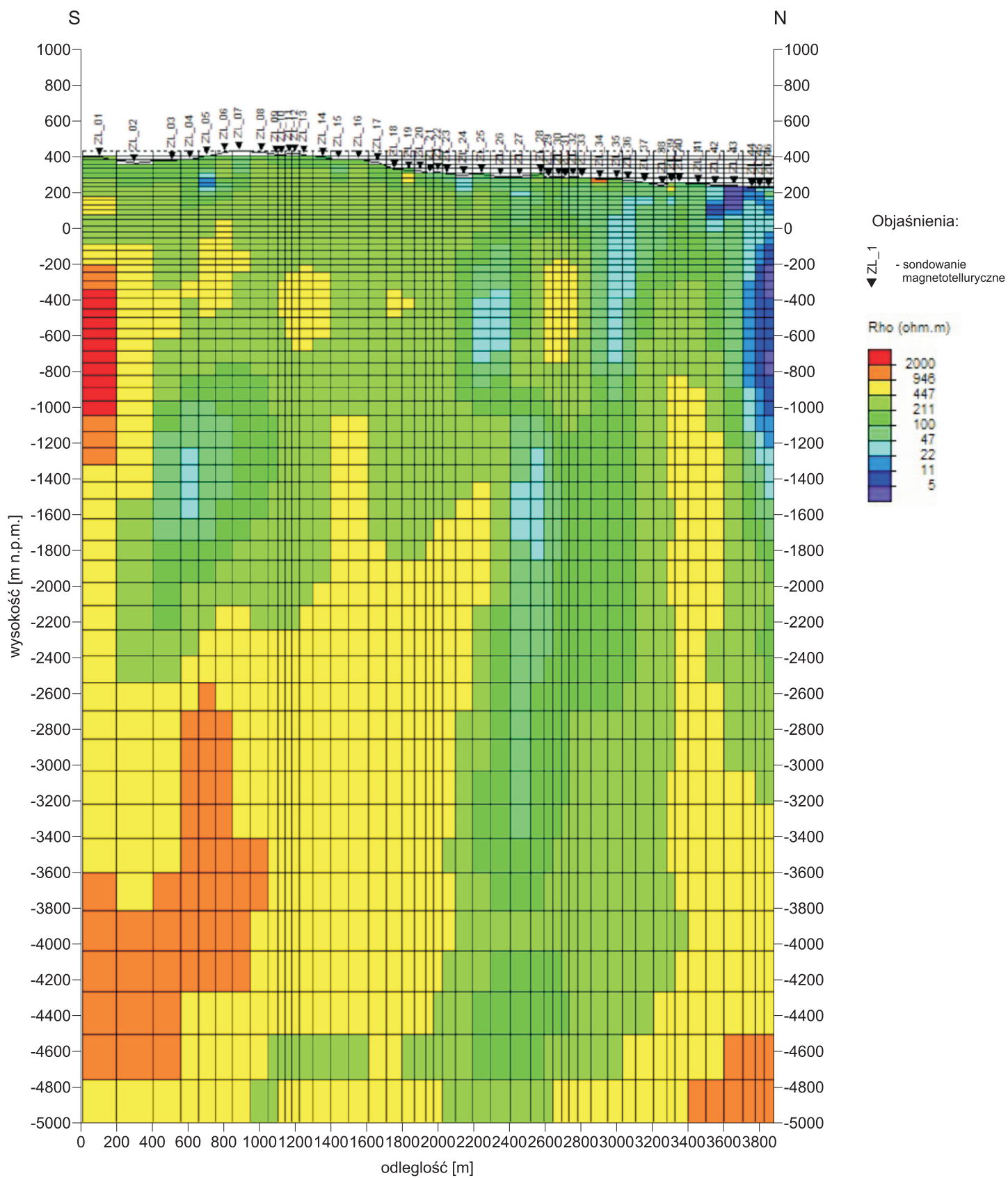


**Figura 3.7.2.5h** Rozkład oporności wzdłuż profilu 1-ZL\_I-18 Złotoryja I na podstawie inwersji 2D wg algorytmu NLCG (iteracja 24)





**Figura 3.7.2.5i** Rozkład oporności wzdłuż profilu 1-ZL\_I-18 Złotoryja I na podstawie inwersji 2D wg algorytmu NLCG (iteracja 27)



**Figura 3.7.2.5j** Rozkład oporności wzdłuż profilu 1-ZL\_I-18 Złotoryja I na podstawie inwersji 2D wg algorytmu NLCG (iteracja 30)

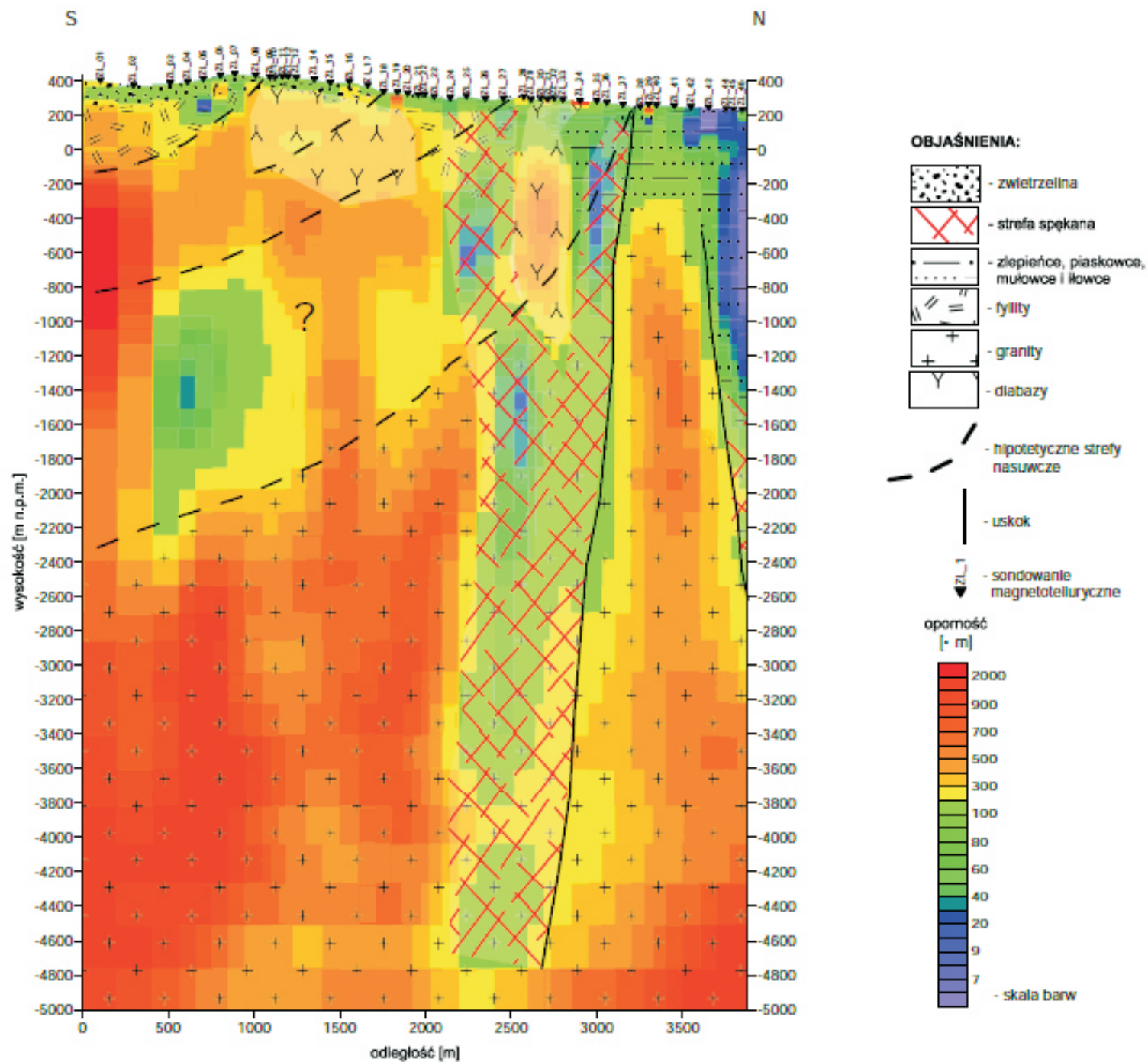


Figura 3.7.2.6. Interpretacja geologiczna wzdłuż profilu 1-ZL\_I-18 Złotoryja I wykonana na podstawie rozkładu oporności uzyskanego w wyniku inwersji 2D wg algorytmu NLCC oraz danych geologicznych